

北京市建筑设计院  
1975.1

標準文三級拱形屋架  
內力規範圖說

## 前言

本文对三铰拱屋架设置轴线偏支距后内力规律进行了讨论。主要就均布荷载下偏支距对内力的影响作了分析，编制了影响系数表，给出了直接求坡计算弯矩的公式。对偏支距的具体取值提出了建议。并以附录形式给出了几种常见的跨度在大型屋面板集中荷载下的内力公式。

本文为研究室曾哲同志写作。  
对论文中可能存在的不妥和错误，请批评指正。

设计管理室

## 目录

|                            |          |
|----------------------------|----------|
| 1 一般介绍                     | ----- 2  |
| 2 偏支距与上弦弯矩状态的关系            | ----- 2  |
| 3 求内力的公式                   | ----- 2  |
| 1) 计算量及符号说明                | ----- 3  |
| 2) 内力公式推导及公式表              | ----- 4  |
| 3) 对内力公式的讨论                | ----- 5  |
| 4 偏支距对上弦弯矩影响系数表及上弦最大正弯矩系数表 | ----- 6  |
| 5 计算实例                     | ----- 7  |
| 6 问题讨论                     | ----- 9  |
| 1) 上偏支距的确定                 | ----- 9  |
| 2) 下偏支距的确定                 | ----- 10 |
| 3) 关于荷载形式                  | ----- 12 |
| 4) 关于下弦拉杆计算                | ----- 12 |
| 附录：大型屋面板集中荷载下的内力公式表        | ----- 13 |

# 偏交三铰拱星架内力规律分析

## 一、一般介绍

三铰拱组合星架是中小跨星架中广泛采用的一种星架。

它的优点是：

- 1：外形简洁。上弦坡度一般可在 $\frac{1}{2} \sim \frac{1}{5}$ 之间变动，能适应多种地面做法要求；
- 2：受力明确。杆件少，内力传递线路短，将含材料集中使用原则，有利于减少材料用量；
- 3：制作拼装简便。

但是，它也存在着不利的一面，主要是上弦杆弯矩较大，影响了经济指标。在实际工程设计中，一般均在端节点和顶节点处设置曲线偏支距，以减小正弯矩。

本文主要就偏支距与上弦弯矩的关係进行分析讨论，并对设计中有关问题提出建议。

## 二、偏支距与上弦弯矩状态的关係

由于均布荷载是一种普遍的荷载形式，以下主要是在线性均布荷载的条件下来展开分析。

在设计中， $\lambda$ 的取值亦不宜过大，这将在后面讨论，此时欲进一步减小正弯矩，则则可在顶节点设置

三铰拱当端节点和顶节点均不设置偏支距时，称为主型三铰拱，在均布荷载作用下的上弦弯矩形，如图1所示。

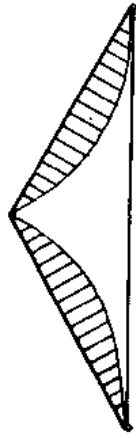


图1

当在端节点设置下偏支距 $\lambda$ 后，从而在该处获得负弯矩，而正弯矩则得以降低。此时，称为主偏支型三铰拱。弯矩分布示于图2。

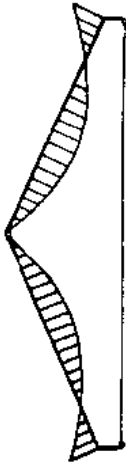
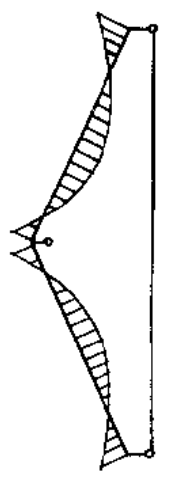


图2

上偏支距和。同时没有下及左的三铰拱，称为双偏支型三铰拱。备了所示为其弯矩图。



备了

以上，就偏支距与上弦弯矩状态的关係，从类型方面作了概要的分析。下面，即以双偏支型三铰拱星架为对象，来讨论它们之间的定量关係。不难预见，正交型与下偏支型三铰拱，都将属于双偏支型三铰拱的特殊情况。

### 三 求内力的公式

#### (一) 计算备形及符号说明

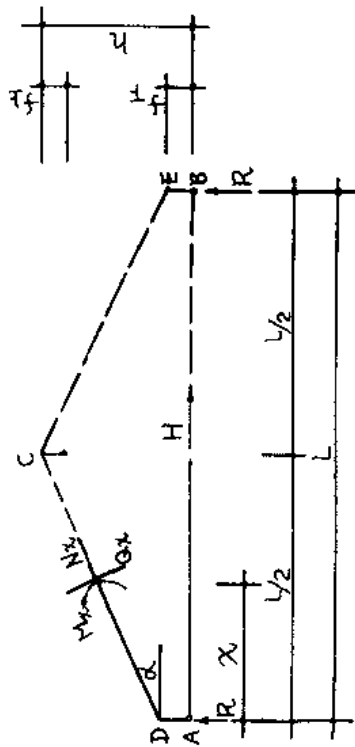
计核算形如备4。

$L$ ——计算跨距

$h$ ——轴线矢高

$e$ ——下偏支距

上偏支距，即顶拱的实际位置与上弦偏



备4

线交点的距离

$\alpha$ ——上弦轴线与水平拉杆夹角

$R$ ——支座反力

$M_0$ ——屋架跨中剪支弯矩

$H$ ——下弦拉力

$M$ ——上弦弯矩。使截面下缘受拉者为正

$\chi_{\max}$ ——上弦最大正弯矩点至所存一侧端

节点的距离

$N$ ——上弦轴向压力

$Q$ ——上弦剪力。对左半跨顺时针向转动力为正；对右半跨反之为正。

余见备注或文注。

(2) 内力公式推导及  
内力公式表

从图4可见：

$$R = \frac{1}{2} \frac{qL^2}{h-f_L} = \frac{1}{4} RL$$

$$M_o = \frac{M_o}{h-f_L} = \frac{qL^2}{8(h-f_L)}$$

$$M_x = R \cdot x - \frac{1}{2} q x^2 - H (y_x + f_T)$$

$$\text{上式中 } y_x = \frac{2(h-f_L)}{L} x;$$

将 R、H 及  $y_x$  代入  $M_x$  表达式并化简得：

$$M_x = \frac{1}{2} q L x - \frac{q L (h-f_T) x}{4(h-f_L)} - \frac{1}{2} q x^2 - \frac{q L^2 f_T}{8(h-f_L)}$$

求最大正弯矩点位置  $x_{max}$ ，可以根据该处剪力为零的条件求得，本即令上述  $M_x$  表达式的一阶导数为零。

$$Q_x = \frac{dM_x}{dx} = M'_x = \frac{1}{2} q L - \frac{q L (h-f_T)}{4(h-f_L)} - q x = 0$$

解上述方程式得：

$$x_{max} = \frac{h-2f_L+f_T}{4(h-f_L)} L$$

将  $x_{max}$  代入  $M_x$  表达式并化简得：

$$M_{max} = \frac{M_o}{4(h-f_L)^2} (h^2 + 4f_L^2 + f_T^2 - 4hf_T - 2hf_F)$$

端节点处的负弯矩：

$$M_D = -Hf_T = -\frac{qL^2 f_T}{8(h-f_L)}$$

顶节点处的负弯矩：

$$M_C = -Hf_L = -\frac{qL^2 f_L}{8(h-f_L)}$$

为设计方便计，兹将各项公式一并列于表1。

表 1 内力公式表

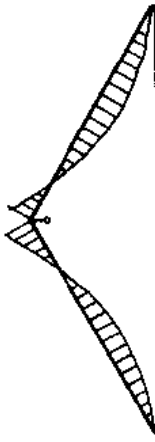
| 名 称   | 公 式  | 编 号                                      |
|---|--|--|
| 支 座 反 力   | $R = \frac{1}{2} q_1 L$  | (1)                                      |
| 屋架跨中简支弯矩  | $M_o = \frac{1}{8} q_1 L^2 = \frac{1}{4} RL$   | (2)                                      |
| 下弦 拉 力  | $H = \frac{M_o}{h - f_L} = \frac{q_1 L^2}{8(h - f_L)}$   | (3)                                      |
| 上弦 住意点 $\chi$ 处<br>最大正弯矩位置                                      | $M_x = R \cdot \chi - \frac{1}{2} q_1 \chi^2 - H(f_F + f_T)$ $= \frac{1}{2} q_1 \chi - \frac{1}{4} \frac{f_F + f_T}{h - f_L} q_1 L \chi$ $- \frac{1}{2} q_1 \chi^2 - \frac{1}{3} \frac{f_F + f_T}{h - f_L} q_1 L^2$ $\chi_{max} = \frac{h - 2f_L + f_F}{4(h - f_L)} L$                                   | (4)<br>(5)                               |
| 最大正弯矩<br>端节点及弯矩<br>顶节点及弯矩<br>住意点 $\chi$ 处<br>端节点 $\chi$ 处<br>轴力 | $M_{max} = \frac{M_o}{4(h - f_L)^2} [h^2 + 4(f_F + f_T)^2 - 4hf_F - 2hf_T]$ $M_D = -Hf_T = -\frac{q_1 L^2 + f_T}{8(h - f_L)}$ $M_C = -Hf_L = -\frac{q_1 L^2 + f_L}{8(h - f_L)}$ $N_x = R \sin \alpha + H \cos \alpha - q_1 \chi \sin \alpha$ $N_D = R \sin \alpha + H \cos \alpha$ $N_C = H \cos \alpha$ | (6)<br>(7)<br>(8)<br>(9)<br>(10)<br>(11) |
| 上弦 剪 力  | $Q_x = R \cos \alpha - H \sin \alpha - q_1 \chi \cos \alpha$   | (12)                                     |
| 端节点 $\chi$ 处<br>顶节点 $\chi$ 处                                    | $Q_D = R \cos \alpha - H \sin \alpha$ $Q_C = -H \sin \alpha$   | (13)<br>(14)                             |

## (二) 对内力公式的讨论

分析表 1，可以得出下述几点结论：

1. 大家都知道，对于备 1 所示正交型三铰拱，在均布荷载作用下，上弦最大正弯矩恒为  $M_o/4 = \frac{9L^2}{32}$ ，亦即为上弦杆 ( $\frac{1}{2}L$  跨) 水平投影长的简支弯矩。而端节点及顶节点处的弯矩为零。从表 1 中公式(6)、(7)、(8)不难看出，当  $\chi$  下、 $\chi$  均为零时，正是此种情况。

当公式(6)、(7)、(8)中  $\chi$  上 = 0 时，则成为备 2 所示下偏交型三铰拱的弯矩公式。  
当上述公式中  $\chi$  下 = 0 时，则构成如备 3 所示情况下的弯矩公式。

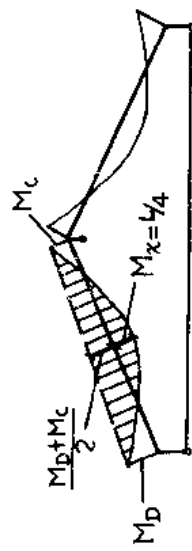


备 5

在实际工程中，此种计祩彎形的屋架是不曾被采  
用过的，本大以后亦不再述及。  
由上不难结论：表 1 所列公式，对于正交型、下  
偏交型，以及双偏交型三种情况下的三铰拱屋架的内  
力计祩都是适用的。

2 参见以下备注

即  $\chi = \frac{1}{4}$  不是  $\chi_{\max}$ ; 当  $f_L = f_T$  时, 则  $M_{\max} = M_{\chi=1/4}$ ,  
 $\chi_{\max} = \frac{1}{4}$ .



将  $\chi = \frac{1}{4}$  代入表 1 式(4), 得  $\chi = \frac{1}{4}$  处上弦正弯矩  
 $M_{\chi=\frac{1}{4}} = \frac{9L^2h}{32(h-f_L)} - \frac{3f_LqL^2}{32(h-f_L)} - \frac{2f_LqL^2}{32(h-f_L)}$

将表 1 中公式(7)、(8)即  $M_D$  与  $M_C$  的表达式相加除以 2 得: (取绝对值)  
 $\frac{M_D + M_C}{2} = \frac{2f_LqL^2}{32(h-f_L)} + \frac{2f_LqL^2}{32(h-f_L)}$

再将  $M_{\chi=\frac{1}{4}}$  及  $\frac{M_D + M_C}{2}$  相加, 整理后得:  
 $M_{\chi=\frac{1}{4}} + \frac{M_D + M_C}{2} = \frac{M_0}{4}$

以上说明, 备 6 中阴影部分, 即是以  $M_D$ 、 $M_C$  坐标联线为基线的简支弯矩图形, 与备 1 所示正交型三铰拱上正弯矩图形是相同的。这就进一步揭示了偏心距对减小上弦正弯矩的作用。

3. 当  $f_L = f_T$  时, 上弦最大正弯矩  $M_{\max} \neq M_{\chi=1/4}$ ,

图 偏心距对上弦弯矩影响系数表  
及上弦最大正弯矩点位置系数表

在设计中, 如果能够根据事先选定的  $M_D$ 、 $M_{\max}$ 、 $M_C$  的比值来确定偏心距  $f_L$ 、 $f_T$ , 或者在假定  $f_L$ 、 $f_T$  为某一个数值后, 不经具体计算就能够立即知道上述三个弯矩的相互比例关系, 则可以避免憑感觉和经验确定偏心距所带来的某些盲目性, 减少由于偏心距假定不当而导致的重复计算, 有利于加快设计速度和提高设计质量。这就要求, 不仅要了解偏心距对上弦弯矩影响的量的方面, 还要掌握随着在量的方面的规律。

在前面所推导的上弦弯矩公式, 即表 1 中的 (6)、(7)、(8)式, 实质上已经给出了这种关系式, 利用这组公式求上弦设计弯矩是简便的, 但是, 不能直接、迅速反映出上述三个弯矩的相互比例关系。为此, 编制了本章的从值表。

从表 1 中公式(6)得:

$$M_{\max} = \frac{M_0}{4} \frac{h^2 + 4f_L^2 + f_T^2 - 4hf_L - 2hf_T}{(h-f_L)^2} = \frac{M_0}{4} M_m$$

$$M_m = \frac{h^2 + 4f_L^2 + f_T^2 - 4hf_L - 2hf_T}{(h-f_L)^2}$$

从表 1 中公式(7)得：

$$M_d = -\frac{9L^2 f_F}{8(h-f_L)} = \frac{M_o}{4} \frac{-4f_F}{h-f_L} = \frac{M_o}{4} \mu d$$
$$\mu d = -\frac{4f_F}{h-f_L}$$

从表 1 中公式(8)得：

$$M_c = -\frac{9L^2 f_F}{8(h-f_L)} = \frac{M_o}{4} \frac{-4f_F}{h-f_L} = \frac{M_o}{4} \mu c$$
$$\mu c = -\frac{4f_F}{h-f_L}$$

只要假定  $\frac{f_F}{h}$ ,  $\frac{f_F}{h}$  不同的比值，即可得出相应的  $\mu d$ 、 $\mu c$ 、 $M_o$ 。 $\mu$  值表详见表 2。利用表 2，可以迅速知道上述三个弯矩的相互比例关系，也可以用直接求上弦弯矩。

从表 1 公式(5)得：

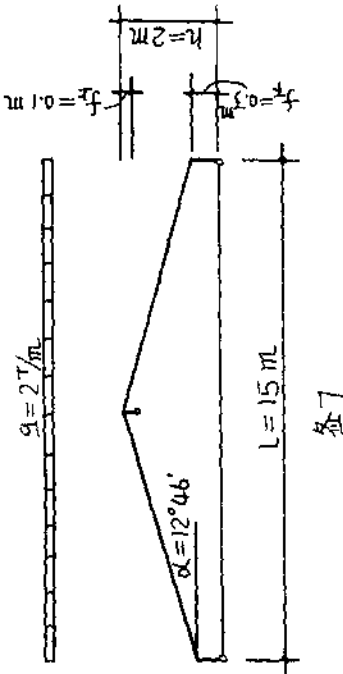
$$\chi_{max} = \frac{h-2f_L + f_F}{4(h-f_L)} L = \beta L$$
$$\beta = \frac{h-2f_L + f_F}{4(h-f_L)}$$

为利用表 2 求内力方便计， $\beta$  值亦相应给出。

偏交距对上弦弯矩状态的影响，其规律在表 2 中得到清晰的反映。

## 五 计算实例

1 计算整体如图 7



$t g \alpha = \frac{1}{h-f_L} = 0.2266$ ,  $\sin \alpha = 0.2210$ ,  $\cos \alpha = 0.9753$

2 利用表 1 公式求内力

$$R = \frac{1}{2} q L = \frac{1}{2} \times 2 \times 15 = 15 T$$
$$M_o = \frac{1}{4} R L = \frac{1}{4} \times 15 \times 15 = 56.25 T-m$$
$$H = \frac{M_o}{h-f_L} = \frac{56.25}{1.9} = 29.6 T$$

$$\chi_{max} = \frac{h-2f_L + f_F}{4(h-f_L)} L = \frac{2-2 \times 0.1 + 0.3}{4(2-0.1)} \times 15$$
$$= 0.2763 \times 15 = 4.15 m$$
$$M_{max} = \frac{M_o}{4} \frac{h^2 + 4f_L^2 + f_F^2}{(h-f_L)^2} = \frac{4h^2 f_L^2 - 4h f_L f_F - 2h f_F^2}{(h-f_L)^2}$$
$$= \frac{56.25}{4} \frac{4 + 0.04 + 0.09 - 0.8 - 1.2}{3.61}$$
$$= 8.3 T-m.$$

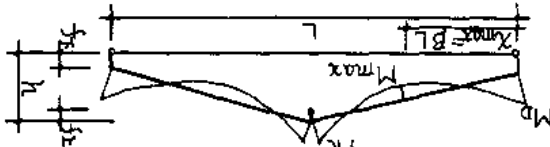
|      | 0.00   | 0.01   | 0.02    | 0.03    | 0.04    | 0.05    | 0.06    | 0.07    | 0.08    | 0.09    | 0.10    |
|------|--------|--------|---------|---------|---------|---------|---------|---------|---------|---------|---------|
| 0.02 | 0.0000 | 0.0404 | 0.0816  | 0.1237  | 0.1666  | 0.2105  | 0.2553  | 0.3011  | 0.3478  | 0.3956  | 0.4444  |
| 0.05 | 0.0205 | 0.0802 | 0.08581 | 0.09183 | 0.09186 | 0.09185 | 0.09185 | 0.09184 | 0.09184 | 0.09184 | 0.09184 |
| 0.10 | 0.0810 | 0.1744 | 0.2693  | 0.3736  | 0.5111  | 0.6475  | 0.7943  | 0.9571  | 0.5955  | 0.5955  | 0.5955  |
| 0.12 | 0.0000 | 0.0404 | 0.0816  | 0.1237  | 0.1666  | 0.2105  | 0.2553  | 0.3011  | 0.3478  | 0.3956  | 0.4444  |
| 0.15 | 0.1225 | 0.6985 | 0.6706  | 0.6442  | 0.6113  | 0.5900  | 0.5623  | 0.5345  | 0.5058  | 0.4788  | 0.4415  |
| 0.18 | 0.0000 | 0.0404 | 0.0816  | 0.1237  | 0.1666  | 0.2105  | 0.2553  | 0.3011  | 0.3478  | 0.3956  | 0.4444  |
| 0.20 | 0.0640 | 0.6124 | 0.5847  | 0.5571  | 0.5277  | 0.4946  | 0.4696  | 0.4389  | 0.4083  | 0.3772  | 0.3457  |
| 0.22 | 0.0000 | 0.0404 | 0.0816  | 0.1237  | 0.1666  | 0.2105  | 0.2553  | 0.3011  | 0.3478  | 0.3956  | 0.4444  |
| 0.25 | 0.3125 | 0.3106 | 0.3087  | 0.3067  | 0.3047  | 0.3026  | 0.3005  | 0.2984  | 0.2962  | 0.2940  | 0.2917  |

$$M_{max} = \frac{f_{yL}}{M_p}$$

$$M_p = \frac{f_y}{M_p} M_p$$

$$M_c = \frac{f_{yL}}{M_p} M_p$$

$$q = \frac{f_{yL}}{M_p} M_p$$



## 六 问题讨论

(e) 上偏支距的确定

$$M_D = -Hf_T = -29.6 \times 0.3 = -8.88 \text{ T-m}$$

$$M_C = -Hf_L = -29.6 \times 0.1 = -2.96 \text{ T-m}$$

$$N_x = 415 = R \sin \alpha - q x \sin \alpha + H \cos \alpha$$

$$= (15 - 2 \times 4.15) \times 221 + 29.6 \times 0.9753$$

$$= 30.38 \text{ T}$$

$$Q_D = R \cos \alpha - H \sin \alpha$$

$$= 15 \times 0.9753 - 29.6 \times 0.221$$

上弦配筋取  $M = 8.3 \text{ T-m}$ ,  $N = 30.38 \text{ T}$ , 按偏心受压杆件设计计算, 鞍筋计取  $Q = 8.1 \text{ T}$ . 下弦拉杆按  $H = 29.6 \text{ T}$  设计取.

3 利用表 2 求上弦弯矩

$$\frac{M_D}{4} = \frac{56.25}{4} = 14.07 \text{ T-m}$$

$$\frac{f_T}{h} = \frac{0.1}{2} = 0.05, \quad \frac{f_L}{h} = \frac{0.3}{2} = 0.15$$

从表 2 查得  $M_{1m} = 0.59, M_d = -0.6312$

$$M_{1c} = -0.2105,$$

$$\beta = 0.2763$$

$$M_{max} = M/4 \times M_{1m} = 14.07 \times 0.59 = 8.3 \text{ T-m}$$

$$M_C = 14.07 \times (-0.2105) = -2.96 \text{ T-m}$$

$$M_D = 14.07 \times (-0.6312) = -8.88 \text{ T-m}$$

$$\chi_{max} = \beta L = 0.2763 \times 15 = 4.15$$

再按表 1 公式(9)求最大弯矩点轴力.

当在顶节点设置上偏支距后, 虽然它起着降低上弦正弯矩的作用, 但却引起下弦拉力增加, 从而可能导致拉杆面积加大. 因此, 是否设置上偏支距, 应经分析比较后决定.

由其作为拉杆的型钢规格是有限的, 往往所选择的面积较计算面积要大一些, 从而强度有所富余. 因此, 在保证下弦拉杆一定强度储备情况下, 可以利用这种强度富余来设置上偏支距值. 或者在选择下弦拉杆截面时, 有意识的选择大一点, 为合理地设置上偏支距条件.

其步骤如下:

- 1 计算  $M_o = \frac{1}{8} q L^2$
- 2 计算  $H_1 = \frac{M_o}{H_1}$
- 3 计算拉杆面积  $A_g = \frac{H_1}{m_1 m_2 R g}$
- 4 从型钢规格表上确定所用规格, 其实有面积为  $[A_g] > A_g$ .
- 5 上偏支距按下式计算

$$f_L = \frac{[A_g] m_1 m_2 R g}{[A_g] m_1 m_2 R g - M_o}$$

6. 根据上边计算值，适当调整，取为 1 cm 的整数倍，作为最后确定的数值。本文建议，在一般情况下，柱不宜大长 0.1 h，同时也不宜小长 5 cm。

现以前一章之实例说明上述步骤的运用

- (1) 从实例计算中知： $M_o = 56.25 \text{ T-m}$
- (2)  $H_1 = M_o / h = 56.25 / 2 = 28.2 \text{ T}$
- (3)  $A_g = \frac{H_1}{m_1 m_2 R_g} = \frac{28.2}{0.9 \times 0.9 \times 2.1} = 16.5 \text{ cm}^2$
- (4) 从角钢表上，选用  $2L75 \times 6$ ,  $[A_g] = 2 \times 8.78 = 17.56 \text{ cm}^2$

$$(5) t_L = \frac{[A_g] m_1 m_2 R_g h - M_o}{([A_g] m_1 m_2 R_g)} = \frac{17.56 \times 0.9 \times 0.9 \times 2.1 \times 2 - 56.25}{17.56 \times 0.9 \times 0.9 \times 2.1} = 0.119 \text{ m}$$

(b) 根据上述计算值，最后决定  $t_{L+} = 0.1 \text{ m}$ .

## (二) 下偏支距的确定

偏支距的确定，实际上也就确定了  $M_D$ 、 $M_C$  以及  $M_{max}$  三个弯矩值的相互比例值。合理地选择上述三个弯矩的比例关系，将能经济的设计上弦杆截面。与设置柱相比，应当将柱设置于下作为降低上弦正弯矩的主要手段，因为它不引起下弦拉力增大。

一般来说，组合屋架上弦杆在支处的尺寸，由于联接作法等原因，都需要适当加大，形成加腋形，从而为设置下偏支距创造了条件。但是，如果单纯地降低正弯矩而将节点下取得过大也是不恰当的，这将导致得端节点增商，围护墙体增多；另一方面，也将导致端节点增加上弦配翼，並不一定取得经济的效果。此外，上述三个弯矩值的相互比例的确定，还跟截面的大小、上弦杆截面的形状有关。因此，应当综合考虑这些因素，以最后确定下述数值。

由长矩形截面具有模板简单、可以采用砖模、重量生产等优点，从而广为设计人员所采用。当采用砖模时，工艺后，混凝土用量亦可大为减少。在对称配筋情况下，本文建议下述几点，作为确定下述的原则。  
1：端节点的钢筋即采用上弦杆的纵筋，不再增加负筋（即上铁），如图 8 所示。



图 8

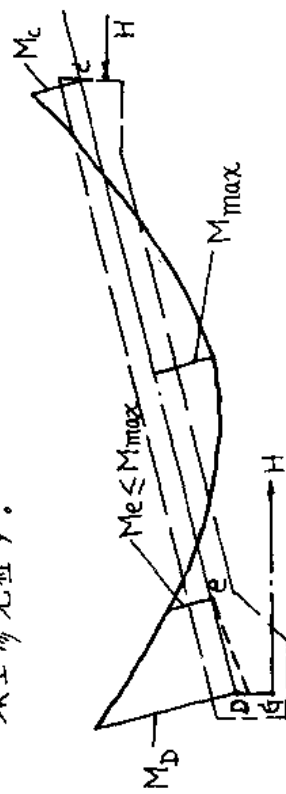
2：根据上述第 1 条，端节点附近截面增大变化点（即加腋终止点）处的负弯矩与上弦最大正弯矩在数值上可以相等。即  $M_e \leq M_{max}$

了。此时，端节点计核算弯矩  $M_D$  在满足  $M_D \leq M_{max}$  条件下，可以取至 1.5 倍上强最大正弯矩，即：

$$M_D = 1.5 M_{max}$$

荷载试验表明，在一般情况下，端节点的承载能力是允许的。在取得荷载试验数据的基础上， $M_D$  与  $M_{max}$  的比值还可以加大，而第 1 条的要求仍将是

以上参见备 9。



备 9

$M_D$  与  $M_{max}$  的比值，之所以能大些，主要是因

为：

- (1) 端节点处加腋，截面加高，承载能力增大；
- (2) 从截面变化点 E 至端节点支反力作用线区段，截面重心的联线不再是上弦轴线的延长线，而是往下递降的，如备 9 中虚线所示，因此，对端节点而言，实际偏支距较计算值为小；
- (3) 下弦拉杆拉力，在拉杆进入端节点后，便通过

撞杆力逐渐扩散，传至混凝土，因此，节点处的拉杆拉力，较之下弦计算拉力已降低；  
(4) 节点处的拉杆拉力，亦是在混凝土块体内，可以设想，也是按照压应力角的概念扩散传递的，而并非按照计算盒形那样，成折杆式传递而对卫点形成弯矩。以上参见备 9。

上述分析表明，端节点内的内力传递及应力分布是比较复杂的，而不像抽象出来的计算模型所反映出来的那样简单。而其宏观表现却可以归纳为，端节点内截面上的实际弯矩较计算弯矩值为小，承载能力允许多将  $M_D$  与  $M_{max}$  的比值加大，从而取得偏支距时降低设计弯矩的经济效果。

试验数据表明，端节点“丁”处的钢筋实测应力很小，甚至在屋架进入破坏状态后，“丁”处应力仍在零值左右，就是上述分析的一个说明。(参见备 8)  
一般情况下，节点可在 0.1~0.2 h 范围内选取。  
以上就承受弯矩的承载能力作了讨论，自然，端节点在其垂直与水平两个方向上，都应相应具有足够的

的抗剪能力、端节点构造尺寸及构造作法应当合理。

### (三) 关于荷载形式

本文是在屋架承受均布荷载情况下进行讨论的。当为宽度较窄的槽型板作屋面板时，可以折算为均布荷载。当为大型屋面面板时，如按均布荷载情况计算，在某些情况下，误差较大，在没有一定的判断经验情况下，以按集中荷载计标为宜。本文附录给出了几种常见计标在大型屋面板集中荷载下的上弦弯矩计标公式。在确定偏支距时，仍可按均布荷载情况对待。

### (四) 关于下弦拉杆计标

本文示例中所用下弦拉杆面积计标公式，是按目前不少设计单位所习用的公式，公式中引用了受力均匀及损伤两个系数。当屋架上弦杆按安全度法设计时，下弦拉杆亦应按安全度法设计计标。关于这一问题，拟在《组合屋架下弦拉杆计标公式的讨论》一文中详细分析。本文所用两个系数均为0.9，与该文所作的分析及建议值是吻合的。（换算成安全度，）

在《偏交五角形屋架的设计及计标实例》一文中，

曾经指出，二榀拱屋架不论设置偏交距与否，从内力计算来说，都可以概略为偏交五角形屋架的特异点。将本文所给公式与该文公式对照，不难觉察，其本质上是一致的。

由长尾想水平和技术水平的限制，文中可能存在若干甚至错误，请批评指正。

一九七二、四一  
一九七三、十。

### 主要参考资料

- 1、偏交五角形屋架的设计及计标实例  
北京市建筑设计院1973年9月印
- 2、构件计标手册

五机部五院二大队1971年3月

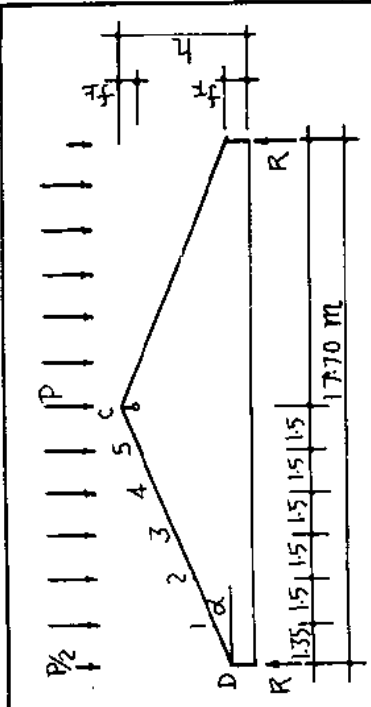
附录

|   |       |                                       |
|---|-------|---------------------------------------|
| 1 | 支座反力  | $R = 4P$ (T)                          |
| 2 | 跨中剪弯矩 | $M_0 = 12P(T - m)$                    |
| 3 | 下弦拉力  | $H = M_0/n - f_{L1}$ (T)              |
| 4 | 上弦剪力  | $M_D = -Hf_T$                         |
| 5 |       | $M_1 = 5.25P - H(f_T + 1.5tg\alpha)$  |
| 6 |       | $M_2 = 9P - H(f_T + 3tg\alpha)$       |
| 7 |       | $M_3 = 11.25P - H(f_T + 4.5tg\alpha)$ |
| 8 |       | $M_C = -Hf_{L1}$                      |
| 1 | 荷载单位: | T                                     |
| 2 | 长度单位: | m                                     |
| 3 | 内力单位: | 弯矩-T, 轴力-T.                           |

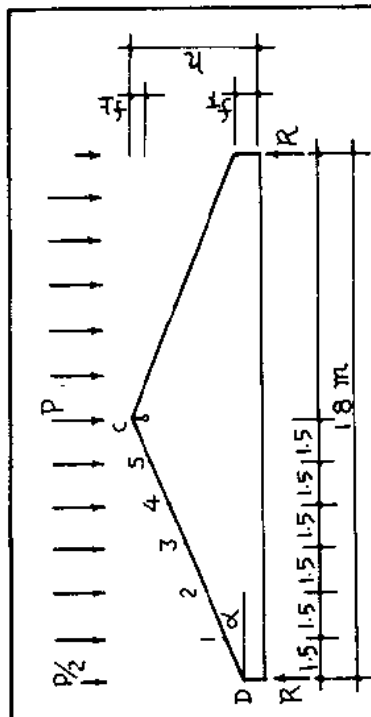
|   |       |   |
|---|-------|---|
| 1 | 支座反力  | $R = 4P$                                |
| 2 | 跨中剪弯矩 | $M_0 = 11.475P$                         |
| 3 | 下弦拉力  | $H = M_0/n - f_L$                       |
| 4 | 上弦剪力  | $M_D = -Hf_T$                           |
| 5 |       | $M_1 = 4.725P - H(f_T + 1.35tg\alpha)$  |
| 6 |       | $M_2 = 8.475P - H(f_T + 2.85tg\alpha)$  |
| 7 |       | $M_3 = 10.725P - H(f_T + 4.35tg\alpha)$ |
| 8 |       |   |
| 1 | 荷载单位: | T                                       |
| 2 | 长度单位: | m                                       |
| 3 | 内力单位: | 弯矩-T, 轴力-T.                             |

|                          |   |                          |   |
|--------------------------|---|--------------------------|---|
|                          | 1 支座反力 $R = 5P$                         | 1 支座反力 $R = 5P$          |   |
| 2 跨中荷载弯矩                 | $M_0 = 18.75P$                          | 2 跨中荷载弯矩                 | $M_0 = 18.75P$                            |
| 3 下弦拉力 $H = M_0/h - f_T$ | 3 下弦拉力 $H = M_0/h - f_T$                | 3 下弦拉力 $H = M_0/h - f_T$ |   |
| 4 $M_D = -Hf_T$          | 4 $M_D = -Hf_T$                         | 4 $M_D = -Hf_T$          |   |
| 5 上弦弯矩                   | $M_1 = 6.75P - H(f_T + 1.5\tan\alpha)$  | 5 上弦弯矩                   | $M_1 = 6.75P - H(f_T + 1.5\tan\alpha)$    |
| 6 弯矩                     | $M_2 = 12P - H(f_T + 3\tan\alpha)$      | 6 弯矩                     | $M_2 = 11.325P - H(f_T + 2.85\tan\alpha)$ |
| 7 矩                      | $M_3 = 15.75P - H(f_T + 4.5\tan\alpha)$ | 7 矩                      | $M_3 = 15.075P - H(f_T + 4.35\tan\alpha)$ |
| 8 矩                      | $M_4 = 18P - H(f_T + 6\tan\alpha)$      | 8 矩                      | $M_4 = 17.325P - H(f_T + 5.85\tan\alpha)$ |
| 9 $M_c = -Hf_T$          | 9 $M_c = -Hf_T$                         | 9 $M_c = -Hf_T$          |   |
| 注                        | 用前                                      | 注                        | 用前  |

|                          |   |                          |   |
|--------------------------|---|--------------------------|---|
|                          | 1 支座反力 $R = 5P$                         | 1 支座反力 $R = 5P$          |   |
| 2 跨中荷载弯矩                 | $M_0 = 18.75P$                          | 2 跨中荷载弯矩                 | $M_0 = 18.75P$                            |
| 3 下弦拉力 $H = M_0/h - f_T$ | 3 下弦拉力 $H = M_0/h - f_T$                | 3 下弦拉力 $H = M_0/h - f_T$ |   |
| 4 $M_D = -Hf_T$          | 4 $M_D = -Hf_T$                         | 4 $M_D = -Hf_T$          |   |
| 5 上弦弯矩                   | $M_1 = 6.75P - H(f_T + 1.5\tan\alpha)$  | 5 上弦弯矩                   | $M_1 = 6.75P - H(f_T + 1.5\tan\alpha)$    |
| 6 弯矩                     | $M_2 = 12P - H(f_T + 3\tan\alpha)$      | 6 弯矩                     | $M_2 = 11.325P - H(f_T + 2.85\tan\alpha)$ |
| 7 矩                      | $M_3 = 15.75P - H(f_T + 4.5\tan\alpha)$ | 7 矩                      | $M_3 = 15.075P - H(f_T + 4.35\tan\alpha)$ |
| 8 矩                      | $M_4 = 18P - H(f_T + 6\tan\alpha)$      | 8 矩                      | $M_4 = 17.325P - H(f_T + 5.85\tan\alpha)$ |
| 9 $M_c = -Hf_T$          | 9 $M_c = -Hf_T$                         | 9 $M_c = -Hf_T$          |   |
| 注                        | 用前                                      | 注                        | 用前  |



|    |       |   |
|----|-------|---|
| 1  | 支座反力  | $R = 6P$                                    |
| 2  | 跨中剪切力 | $M_0 = 26.175P$                             |
| 3  | 下弦拉力  | $H = M_0/h - f_F$                           |
| 4  |       | $M_D = -Hf_F$                               |
| 5  |       | $M_1 = 7.425P - H(f_F + 1.35 \tan \alpha)$  |
| 6  | 弦     | $M_2 = 14.175P - H(f_F + 2.85 \tan \alpha)$ |
| 7  | 弯     | $M_3 = 19.425P - H(f_F + 4.35 \tan \alpha)$ |
| 8  |       | $M_4 = 23.175P - H(f_F + 5.85 \tan \alpha)$ |
| 9  | 矩     | $M_5 = 25.425P - H(f_F + 7.35 \tan \alpha)$ |
| 10 |       | $M_C = -Hf_F$                               |
|    | 注     | 风前  |



|    |       |   |
|----|-------|---|
| 1  | 支座反力  | $R = 6P$                                  |
| 2  | 跨中剪切力 | $M_0 = 27P$                               |
| 3  | 下弦拉力  | $H = M_0/h - f_F$                         |
| 4  | 上弦    | $M_D = -Hf_F$                             |
| 5  |       | $M_1 = 8.25P - H(f_F + 1.5 \tan \alpha)$  |
| 6  | 弦     | $M_2 = 15P - H(f_F + 3 \tan \alpha)$      |
| 7  | 弯     | $M_3 = 20.25P - H(f_F + 4.5 \tan \alpha)$ |
| 8  |       | $M_4 = 24P - H(f_F + 6 \tan \alpha)$      |
| 9  | 矩     | $M_5 = 26.25P - H(f_F + 7.5 \tan \alpha)$ |
| 10 |       | $M_C = -Hf_F$                             |
|    | 注     | 风前  |